

# Lie-Algebren (Vortrag am 5. Juni)

Philipp Arras

9. Oktober 2014

## 0 Vorbemerkungen

### 0.1 Setup

Sei  $L$  halbeinfache Lie-Algebra über einem abgeschlossenen Körper der Charakteristik Null. Sei  $H$  eine maximale torische Unter algebra.

Im Vortrag von Dr. Kasten wurde folgende Abbildung beschrieben:

$$(L, H) \mapsto (E, \Phi)$$

wobei  $E$  ein euklidischer Vektorraum und  $\Phi$  ein Wurzelsystem ist. Wir klassifizieren jetzt die Paare  $(E, \Phi)$ . Im nächsten Vortrag werden wir sehen, dass obige Abbildung bijektiv und die Wahl von  $H$  nicht entscheidend ist.

### 0.2 Bezeichnungen

Im Folgenden sei immer  $\Phi$  ein Wurzelsystem vom Rang  $l$  in einem euklidischen Raum  $E$  mit Weyl-Gruppe  $\mathcal{W}$  und  $\Delta$  eine Basis von  $\Phi$ .

3 min

## 10 Einfache Wurzeln und die Weyl-Gruppe

### 10.4 Irreduzible Wurzelsysteme

**Definition (irreduzible Wurzelsysteme)** Wir nennen  $\Phi$  irreduzibel, wenn es nicht in zwei echte zueinander orthogonale Teilmengen zerlegt werden kann, d.h. dass jede Wurzel der einen Teilmenge orthogonal auf jeder Wurzel der anderen Teilmenge steht.

Beispiel:  $A_1 \times A_1$  ist reduzibel.  $A_2$  ist irreduzibel.

**Bemerkung**  $\Phi$  ist irreduzibel  $\Leftrightarrow \Delta$  ist irreduzibel.

„ $\Leftarrow$ “: Beweis durch Kontraposition. Sei  $\Phi = \Phi_1 \cup \Phi_2$  nicht irreduzibel, also reduzibel. Wenn  $\Delta$  nicht komplett in einer der Teilmengen enthalten ist, induziert die Zerlegung eine Zerlegung von  $\Delta$ . Wenn aber  $\Delta \subset \Phi_1$ , folgt  $0 = (\Delta, \Phi_2) = (E, \Phi_2)$ , weil  $\Delta$  Basis von  $E$  ist.  $\Delta$  kann also nicht komplett in  $\Phi_1$  liegen.

„ $\Rightarrow$ “: Sei  $\Phi$  irreduzibel, aber  $\Delta$  nicht:  $\Delta = \Delta_1 \cup \Delta_2$  mit  $(\Delta_1, \Delta_2) = 0$ . Theorem 10.3(c) besagt, dass jede Wurzel zu einer einfachen Wurzel konjugiert ist (über die Weylgruppe)

$\Rightarrow \Phi = \Phi_1 \cup \Phi_2$  mit  $\Phi_i = \{\alpha \in \Phi \mid \alpha \text{ ist konjugiert zu einem } \alpha' \in \Delta_i\}$ . Dies ist wegen der Definition von Basis wohldefiniert.

Wir wissen:  $(\alpha, \beta) = 0 \Rightarrow [\sigma_\alpha, \sigma_\beta] = 0$ . Weil  $\mathcal{W}$  von den einfachen Spiegelungen  $\sigma_\alpha, \alpha \in \Delta$  erzeugt wird, kann jede Wurzel aus  $\Phi_i$  aus einer Summe oder Differenz von Elementen aus  $\Delta_i$  geschrieben werden.

$\Rightarrow \Phi_i \subset E_i \equiv \text{span}(\Delta_i)$ . Damit sehen wir, dass  $(\Phi_1, \Phi_2) = 0$ . Weil  $\Phi$  irreduzibel ist, folgt:  $\Phi_1 = \emptyset$  oder  $\Phi_2 = \emptyset$

$\Rightarrow \Delta_1 = \emptyset$  oder  $\Delta_2 = \emptyset$ .

□ 11 min

**Lemma 1** Sei  $\Phi$  irreduzibel. (1) Bezüglich der partiellen Ordnung<sup>1</sup>  $\prec$  gibt es eine eindeutig bestimmte maximale Wurzel  $\beta$ . (2) Wenn  $\beta = \sum k_\alpha \alpha, \alpha \in \Delta \Rightarrow k_\alpha > 0$

Beweis von (2): Sei  $\beta = \sum k_\alpha \alpha$  maximal bezüglich der Ordnung, also  $\beta \succ 0$ .

Sei  $\Delta_1 = \{\alpha \in \Delta | k_\alpha > 0\}$  und  $\Delta_2 = \{\alpha \in \Delta | k_\alpha = 0\}$ . Dann gilt:  $\Delta = \Delta_1 \cup \Delta_2$ .

Angenommen  $\Delta_2 \neq \emptyset$ . Es gilt:  $(\alpha, \beta) \leq 0 \forall \alpha \in \Delta_2$  (Lemma 10.1).

Weil  $\Phi$  irreduzibel ist, muss mindestens ein  $\alpha \in \Delta_2$  nicht-orthogonal zu  $\Delta_1$  sein:

$(\alpha, \alpha') \stackrel{10.1}{<} 0, \alpha' \in \Delta_1$ . Damit ist  $(\alpha, \beta) < 0$ . Aus Lemma 9.4 folgt, dass  $\alpha + \beta$  eine Wurzel ist. Dies ist ein Widerspruch zur Annahme, dass  $\beta$  maximal ist. Damit ist  $\Delta_2 = \emptyset, k_\alpha > 0$ . Außerdem haben wir damit gezeigt, dass  $(\alpha, \beta) \geq 0 \forall \alpha \in \Delta$  und  $(\alpha, \beta) > 0$  für mindestens ein  $\alpha$ , weil  $E = \text{span}(E)$ .

Beweis von (1): Sei  $\beta'$  eine weitere maximale Wurzel. Wie wir gerade gesehen haben, gilt  $(\alpha, \beta) > 0$  für mindestens ein  $\alpha \in \Delta$ .

$\Rightarrow (\beta, \beta') > 0 \Rightarrow \beta - \beta'$  ist eine Wurzel, solange nicht  $\beta = \beta'$ . Aber wenn  $\beta - \beta'$  eine Wurzel ist, muss entweder  $\beta \succ \beta'$  oder  $\beta' \succ \beta$ . Beides führt unmittelbar zum Widerspruch.

□ 18 min

**Lemma 2** Sei  $\Phi$  irreduzibel. Dann operiert  $\mathcal{W}$  irreduzibel auf  $E$ , d.h. außer  $E$  und  $0$  gibt es keine  $\mathcal{W}$ -invarianten Unterräume. Insbesondere spannt der  $\mathcal{W}$ -Orbit einer Wurzel ganz  $E$  auf.

Es ist klar, dass die zweite Aussage aus der Ersten folgt. Wir zeigen also den ersten Teil.

Sei  $\emptyset \neq E' \subset E$  ein  $\mathcal{W}$ -invarianter Teilraum. Das orthogonale Komplement  $E''$  ist natürlich ebenfalls  $\mathcal{W}$ -invariant.

Jedes  $\alpha \in \Phi$  liegt entweder in  $E'$  oder  $E'$  liegt in  $P_\alpha$ , weil  $\sigma_\alpha(E') = E'$ .

$\alpha \notin E' \Rightarrow \alpha \in E''$ . Jede Wurzel liegt also entweder in dem einen oder dem anderen Unterraum. Weil  $\Phi$   $E$  erzeugt, folgt  $E' = E$ .

□ 20 min

**Lemma 3** Sei  $\Phi$  irreduzibel. Dann (1) existieren höchstens zwei Wurzellängen in  $\Phi$  und (2) alle Wurzeln einer bestimmten Länge sind konjugiert unter  $\mathcal{W}$ .

Seien  $\alpha, \beta$  beliebige Wurzeln.

Nicht alle  $\sigma(\alpha)$  ( $\sigma \in \mathcal{W}$ ) können orthogonal zu  $\beta$  sein, weil  $E = \text{span}(\sigma(\alpha))$ .

(1 mündlich): Wenn  $(\alpha, \beta) \neq 0$  wissen wir (aus Abschnitt 9.4), dass alle Verhältnisse von quadrierten Wurzellängen 1, 2, 3, 1/2 oder 1/3 sein müssen. Gäbe es drei unterschiedliche Wurzellängen, würde u.a. das Verhältnis 3/2 auftreten. #

(2): Seien nun  $\alpha, \beta$  Wurzeln gleicher Länge. Wir können OE annehmen, dass sie nichtorthogonal sind (ersetze eine Wurzel durch eine  $\mathcal{W}$ -Konjugierte) und verschieden (sonst sind wir schon fertig).

$\stackrel{(9.4)}{\Rightarrow} \langle \alpha, \beta \rangle = \langle \beta, \alpha \rangle = \pm 1$ . Falls nötig ersetzen wir  $\beta \rightarrow -\beta = -\sigma_\beta(\beta)^2$ , sodass

<sup>1</sup>  $\Delta$  definiert  $\prec: \mu \prec \lambda \Leftrightarrow \mu - \lambda$  ist Summe von (positiven=einfachen) Wurzeln oder  $\lambda = \mu$ .  
Eine partielle Ordnung ist transitiv, reflexiv und antisymmetrisch (nicht total)

<sup>2</sup> auch hier wird wieder ein Element von  $\mathcal{W}$  angewendet

$$\langle \alpha, \beta \rangle = 1.$$

Aus  $\sigma_\alpha(\beta) = \beta - \frac{2(\beta, \alpha)}{(\alpha, \alpha)} \alpha$  folgt  $(\sigma_\alpha \sigma_\beta \sigma_\alpha)(\beta) = \sigma_\alpha \sigma_\beta(\beta - \alpha) = \sigma_\alpha(-\beta - \alpha + \beta) = \alpha$

□

24 min

**Definition** Sei  $\Phi$  irreduzibel. Haben wir zwei Wurzellängen, sprechen wir von kurzen und von langen Wurzeln. Haben alle Wurzeln gleiche Länge, nennen wir sie lang.

**Lemma 4** Sei  $\Phi$  irreduzibel mit zwei unterschiedlichen Wurzellängen. Dann ist die maximale Wurzel aus Lemma 1 eine lange Wurzel.

Sei  $\alpha \in \Phi$ . Es reicht z.z., dass  $(\beta, \beta) \geq (\alpha, \alpha)$ .

Ersetze  $\alpha$  durch eine  $\mathcal{W}$ -Konjugierte, die im Abschluss der zu  $\Delta$  fundamentalen Weyl-Kammer liegt. Weil  $\beta - \alpha \succ 0$  (Lemma 1)<sup>3</sup>, gilt  $(\gamma, \beta - \alpha) \geq 0 \quad \forall \gamma \in \mathcal{C}(\Delta)$ . setze  $\gamma = \beta$  und  $\gamma = \alpha$ .

$$\Rightarrow (\beta, \beta) \geq (\beta, \alpha) \geq (\alpha, \alpha).$$

□ 27 min

## 11 Klassifikation

### 11.1 Cartan-Matrix von $\Phi$

**Definition (Cartan Matrix)** Sei  $(\alpha_1, \dots, \alpha_l)$  eine geordnete Liste der einfachen Wurzeln. Wir nennen  $(\langle \alpha_i, \alpha_j \rangle)_{ij}$  *Cartan-Matrix* von  $\Phi$ .

#### Bemerkungen

- Diese Definition ist abhängig von der Ordnung der einfachen Wurzeln.
- Die Cartan-Matrix ist unabhängig von der Wahl von  $\Delta$  (folgt aus Theorem 10.3(b)).
- Die Cartan-Matrix ist nichtsingulär (folgt aus Abschnitt 8.5).
- Wir werden sehen, dass die Cartan-Matrix  $\Phi$  komplett charakterisiert.
- Sei  $(\Phi' \subset E', \Delta')$  ein weiteres Wurzelsystem mit Basis  $\Delta'$ . Wenn  $\langle \alpha_i, \alpha_j \rangle = \langle \alpha'_i, \alpha'_j \rangle$  für  $1 \leq i, j \leq l$ , dann gilt:  
Die Abbildung  $\Psi : \alpha_i \mapsto \alpha'_i$  ist ein VR-Isomorphismus mit:

$$- \Psi : \Phi \rightarrow \Phi'$$

$$- \langle \Psi(\alpha), \Psi(\beta) \rangle = \langle \alpha, \beta \rangle \quad \forall \alpha, \beta \in \Phi$$

Damit können wir im Prinzip aus der Cartan-Matrix  $\Phi$  bestimmen.<sup>4</sup>

#### Beweis:

- $\Psi$  existiert und ist eindeutig:

$$\left\{ \begin{array}{c} \Delta \\ \Delta' \end{array} \right\} \text{ ist Basis von } \left\{ \begin{array}{c} E \\ E' \end{array} \right\} \Rightarrow \exists! \text{ VR-Isomorphismus } \Psi : E \rightarrow E' \text{ mit } \Psi(\alpha_i) = \alpha'_i \quad \forall i.$$

<sup>3</sup>Warum?

<sup>4</sup>s. Seite 56

– Folgendes Diagramm kommutiert:

$$\begin{array}{ccc} E & \xrightarrow{\Psi} & E' \\ \sigma_\alpha \downarrow & & \downarrow \sigma_{\Psi(\alpha)} \\ E & \xrightarrow{\Psi} & E' \end{array}$$

Es gilt:

$$\begin{aligned} \sigma_{\Psi(\alpha)}(\Psi(\beta)) &= \sigma_{\alpha'}(\beta') \\ &= \beta' - \langle \beta', \alpha' \rangle \alpha' \\ &= \Psi(\beta) - \langle \beta, \alpha \rangle \Psi(\alpha) \\ &= \Psi(\beta - \langle \beta, \alpha \rangle \alpha) \\ &= \Psi(\sigma_\alpha(\beta)) \end{aligned}$$

–  $\Psi$  bildet  $\Phi$  surjektiv auf  $\Phi'$  ab.

Die Weyl-Gruppen  $\mathcal{W}, \mathcal{W}'$  werden von einfachen Spiegelungen erzeugt.

$\xRightarrow{\text{Theorem 10.3(d)}} \xi_\Psi : \mathcal{W} \rightarrow \mathcal{W}', \sigma \mapsto \Psi \circ \sigma \circ \Psi^{-1}$  ist ein Gruppen-Isomorphismus mit  $\xi_\Psi(\sigma_\alpha) = \sigma_{\Psi(\alpha)} \quad \alpha \in \Delta$  (folgt aus dem kommutativen Diagramm).

Weil jedes  $\beta \in \Phi$  zu einem  $\alpha \in \Delta$  konjugiert ist (also  $\exists \sigma \in \mathcal{W} : \sigma(\alpha) = \beta$ , Theorem 10.3(c)), gilt

$$\Psi(\beta) = \Psi(\sigma(\alpha)) = (\Psi \circ \sigma \circ \Psi^{-1})(\Psi(\alpha)) \in \Phi'$$

Lassen wir  $\sigma \in \mathcal{W}$  und  $\alpha \in \mathcal{W}$  laufen, erreichen wir ganz  $\Phi'$ . Also:

$$\Psi : \Phi \twoheadrightarrow \Phi'$$

36 min

– Die Cartan-Zahlen bleiben unter  $\Psi$  erhalten.

Seien  $\alpha, \beta \in \Phi$  und  $\sigma, \tau \in \mathcal{W}$ , s.d.  $\alpha = \sigma(\alpha_i), \beta = \tau(\alpha_j)$  mit  $\alpha_i, \alpha_j \in \Delta$ .

Dann gilt:

$$\begin{aligned} \langle \alpha, \beta \rangle &= \langle \sigma(\alpha_i), \tau(\alpha_j) \rangle \\ &\stackrel{\text{Lemma 9.2}}{=} \langle \underbrace{\tau^{-1}\sigma(\alpha_i)}_{=\sum_k c_k \alpha_k}, \alpha_j \rangle \\ &= \sum_k c_k \langle \alpha_k, \alpha_j \rangle \\ &\stackrel{\text{Vor.}}{=} \sum_k c_k \langle \Psi(\alpha_k), \Psi(\alpha_j) \rangle \\ &= \langle \Psi(\tau^{-1}\sigma(\alpha_i)), \Psi(\alpha_j) \rangle \\ &= \langle \tau^{-1}\Psi(\sigma(\alpha_i)), \Psi(\alpha_j) \rangle \\ &= \langle \Psi(\sigma(\alpha_i)), \tau\Psi(\alpha_j) \rangle \\ &= \langle \Psi(\sigma(\alpha_i)), \Psi(\tau(\alpha_j)) \rangle \\ &= \langle \Psi(\alpha), \Psi(\beta) \rangle \end{aligned}$$

□

39 min

## 11.2 Coxeter-Graphen und Dynkin-Diagramme

Seien  $\alpha, \beta$  zwei positive Wurzeln. Dann gilt:  $\langle \alpha, \beta \rangle \langle \beta, \alpha \rangle = 0, 1, 2$  oder  $3$  (Abschnitt 9.4). Wir betrachten ab jetzt nur noch positive Wurzeln, weil  $\Phi^- = -\Phi^+$  und wir deshalb schon alle Wurzeln beschrieben haben, wenn wir die positiven Wurzeln beschrieben haben.

Zur besseren Anschaulichkeit folgende Definition.

**Definition (Coxeter Graph)** Der Coxeter Graph von  $\Phi$  ist ein Graph mit  $l$  Vertices, wobei die  $i$ te und die  $j$ te Vertex ( $i \neq j$ ) durch  $\langle \alpha_i, \alpha_j \rangle \langle \alpha_j, \alpha_i \rangle$  Kanten verbunden sind.

**Bemerkung:** Wenn alle Wurzeln gleiche Länge haben, gilt  $\langle \alpha_i, \alpha_j \rangle = \langle \alpha_j, \alpha_i \rangle$ . Deshalb sind durch den Coxeter-Graph alle Cartan-Zahlen bestimmt. Haben die Wurzeln unterschiedliche Länge, funktioniert das nicht mehr. In diesem Fall erweitern wir unsere Definition.

**Definition (Dynkin-Diagramm)** Ein Dynkin-Diagramm ist ein Coxeter-Graph, bei dem an jeder Kante, die zwischen Wurzeln unterschiedlicher Länge liegt, ein Pfeil hinzugefügt wird, der von der langen zur kurzen Wurzel zeigt.<sup>5</sup>

42 min

## 11.3 Irreduzible Komponenten

Wie wir in Abschnitt 10.4 gesehen haben, ist  $\Phi$  irreduzibel genau dann wenn  $\Phi$  (oder äquivalent  $\Delta$ ) nicht in zwei echte orthogonale Teilmengen aufgeteilt werden kann. Dies ist offensichtlich genau dann der Fall, wenn der Coxeter Graph im gewöhnliche Sinne zusammenhängend ist.<sup>6</sup>

## 11.4 Klassifikationssatz

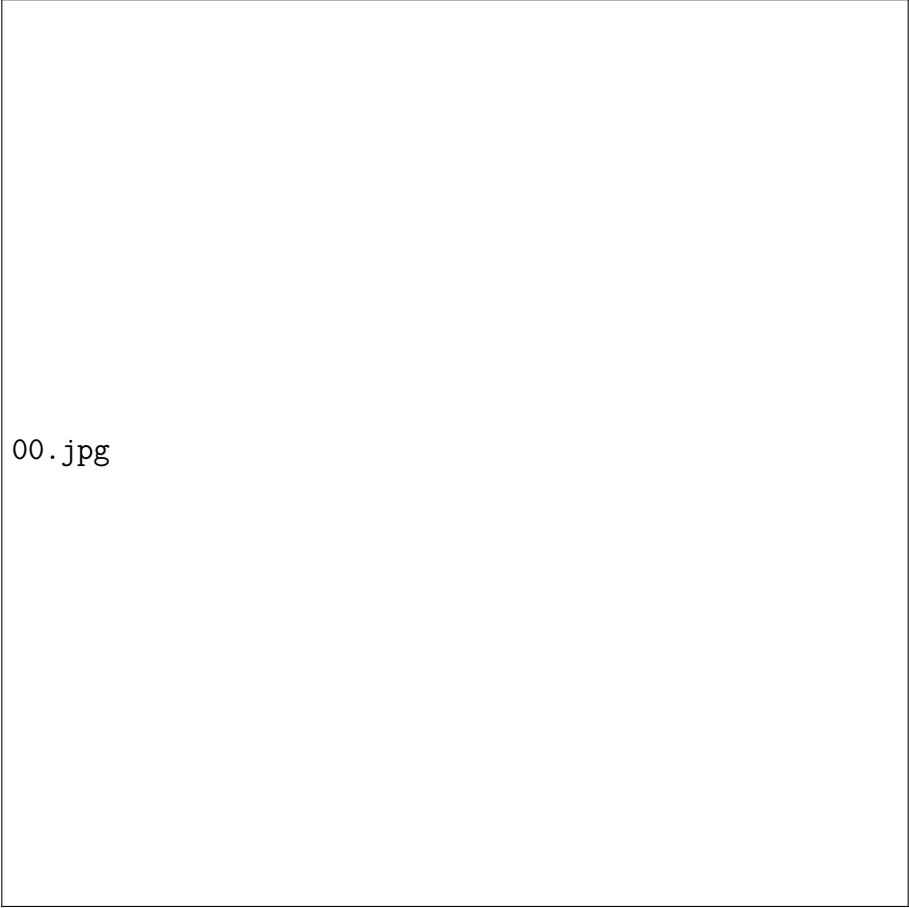
Wie wir gerade gesehen haben, reicht es irreduzible Wurzelsysteme, also zusammenhängende Dynkin-Diagramme zu betrachten.

### Theorem

Sei  $\Phi$  ein irreduzibles Wurzelsystem vom Rang  $l$ . Dann ist sein Dynkin-Diagramm eines der Folgenden:

<sup>5</sup>Im Buch wird dies am Beispiel von  $F_4$  vorgeführt: S. 57

<sup>6</sup>Hier fehlt noch was, wobei mir noch nicht klar ist, wofür man das braucht.



00.jpg

### Bemerkungen

- Der Index  $l$  wird eingeschränkt um Dopplungen zu vermeiden.
- Man erkennt, dass abgesehen von  $B_l$  und  $C_l$  bereits die Coxeter Graphen ausreichen um die einfachen Wurzeln zu beschreiben.

47 min

### Beweis

Wir werden nun die Coxeter Graphen klassifizieren und danach sehen, welche Dynkin-Diagramme sich daraus ergeben können. Wir ignorieren also zunächst die Längen der Wurzeln und können deshalb mit Einheitsvektoren arbeiten.

**Definition** Sei  $E$  ein euklidischer Raum,  $\mathcal{U} = \{\epsilon_1, \dots, \epsilon_n\} \subset E$   $n$  linear unabhängige Einheitsvektoren. Wenn für  $i \neq j$

$$(\epsilon_i, \epsilon_j) \leq 0 \quad \text{und} \quad 4(\epsilon_i, \epsilon_j)^2 = 0, 1, 2 \text{ oder } 3$$

gilt, nennen wir  $\mathcal{U}$  zulässiges System (von Einheitsvektoren). Zu einer zulässigen Menge ordnen wir wie oben den Graphen  $\Gamma$  zu, bei dem die Vertices  $i$  und  $j$  ( $i \neq j$ ) von  $4(\epsilon_i, \epsilon_j)^2$  Kanten verbunden werden.

Wir wollen nun alle zusammenhängenden Graphen finden, die zu zulässigen Systemen gehören. Das sind offensichtlich genau die zusammenhängenden Coxeter-Graphen.

50 min

1. Zunächst eine einfache Feststellung: *Entfernt man aus einem zulässigen System einige  $\epsilon_i$ , bilden die Verbleibenden wieder ein zulässiges System. Den neuen Graphen erhält man, indem man die entsprechenden Vertices und alle dorthin zeigenden Kanten entfernt.*
2. *Die Zahl von Vertexpaaren in  $\Gamma$ , die von mindestens einer Kante verbunden werden, ist  $\leq n$ .*

Sei  $\epsilon = \sum_{i=1}^n \epsilon_i$ . Weil die  $\epsilon_i$  linear unabhängig sind, folgt  $\epsilon \neq 0$  und damit:

$$0 < (\epsilon, \epsilon) = n + 2 \sum_{i < j} (\epsilon_i, \epsilon_j) \quad (1)$$

Sei nun  $i, j$  ein Paar von Indices dessen Vertices verbunden sind, also:

$$\begin{aligned} (\epsilon_i, \epsilon_j) &\neq 0 \\ \Rightarrow 4(\epsilon_i, \epsilon_j)^2 &= 1, 2 \text{ oder } 3 \\ \Rightarrow 4(\epsilon_i, \epsilon_j)^2 &\geq 1 \\ \Rightarrow 2|(\epsilon_i, \epsilon_j)| &\geq 1 \\ \Rightarrow 2(\epsilon_i, \epsilon_j) &\leq -1 \end{aligned}$$

Wir erhalten also mit Ungleichung (1), dass die Anzahl dieser Paare nicht größer als  $n - 1$  werden kann.

3.  $\Gamma$  enthält keine Kreise.

Ein Kreis wäre der Graph  $\Gamma'$  eines zulässigen Systems  $\mathcal{U}' \subset \mathcal{U}$ .  $\mathcal{U}'$  würde gegen Punkt 2 des Beweises verstoßen.

4. *Es können nicht mehr als 3 Kanten mit einer Vertex verbunden sein.*

Sei  $\epsilon \in \mathcal{U}$  und  $\eta_1, \dots, \eta_k \in \mathcal{U}$  die paarweise verschiedenen Vektoren, die mit  $\epsilon$  verbunden sind:

$$(\epsilon, \eta_i) < 0 \text{ wobei } \{\epsilon, \eta_1, \dots\} \text{ paarweise verschieden}$$

Aus Punkt 3 des Beweises wissen wir, dass die  $\eta_i$ 's nicht miteinander verbunden sein können, also:  $(\eta_i, \eta_j) = 0$  für  $i \neq j$ .

Weil  $\mathcal{U}$  linear unabhängig ist, können wir einen Einheitsvektor  $\eta_0$  finden, der im Erzeugnis von  $\mathcal{U}$  liegt und orthogonal zu allen  $\eta_i$  ist. Damit kann  $\eta_0$  nicht auch noch zu  $\epsilon$  orthogonal sein:

$$(\epsilon, \eta_0) \neq 0 \quad (2)$$

Es gilt nun:

$$\begin{aligned} \epsilon &= \sum_{i=0}^k (\epsilon, \eta_i) \eta_i \\ \Rightarrow 1 &= (\epsilon, \epsilon) = \sum_{i=0}^k (\epsilon, \eta_i)^2 \\ &\stackrel{(2)}{\Rightarrow} \sum_{i=1}^k (\epsilon, \eta_i)^2 < 1 \\ \Rightarrow \sum_{i=1}^k 4(\epsilon, \eta_i)^2 &< 4 \end{aligned} \quad (3)$$

Die Gesamtzahl der Vertices, die mit  $\epsilon$  verbunden sind, ist also strikt kleiner als 4.

59 min

5. *Der einzige zusammenhängende Graph eines zulässigen Systems, der eine Dreier-Kante enthält, ist der Graph  $G_2$*

Die folgt sofort aus Punkt 4 des Beweises.

6. *Sei  $\{\epsilon_1, \dots, \epsilon_k\} \subset \mathcal{U}$  eine Teilmenge, zu der eine einfache Kette gehört. Dann ist  $\mathcal{U}' = (\mathcal{U} \setminus \{\epsilon_1, \dots, \epsilon_k\}) \cup \{\epsilon\}$  mit  $\epsilon := \sum_{i=1}^k \epsilon_i$  ein zulässiges System. Man darf also eine einfache Kette zu einem Punkt zusammenschrumpfen.*

Wir müssen also zeigen, dass  $\mathcal{U}'$  ein zulässiges System ist. Die lineare Unabhängigkeit ist klar. Nach Voraussetzung haben wir  $2(\epsilon_i, \epsilon_{i+1}) = -1$  für alle  $1 \leq i \leq k-1$ . Damit ist  $\epsilon$  ein Einheitsvektor:

$$(\epsilon, \epsilon) = k + 2 \sum_{i < j} (\epsilon_i, \epsilon_j) = k - 2 \cdot \frac{k-1}{2} = 1$$

Mit Punkt 3 des Beweises wissen wir, dass jedes  $\eta \in \mathcal{U} \setminus \{\epsilon_1, \dots, \epsilon_k\}$  mit maximal einem  $\epsilon_1, \dots, \epsilon_k$  verbunden sein kann. Damit

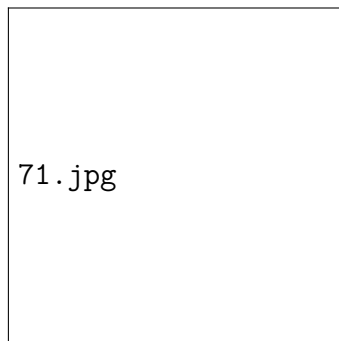
$$(\eta, \epsilon) = 0 \text{ oder } (\eta, \epsilon) = (\eta, \epsilon_i) \quad 1 \leq i \leq k$$

Auf jeden Fall gilt  $4(\eta, \epsilon)^2 = 0, 1, 2$  oder  $3$ .

Damit ist  $\mathcal{U}'$  ein zulässiges System.

64 min

7.  $\Gamma$  enthält keinen Teilgraphen der folgenden Form:

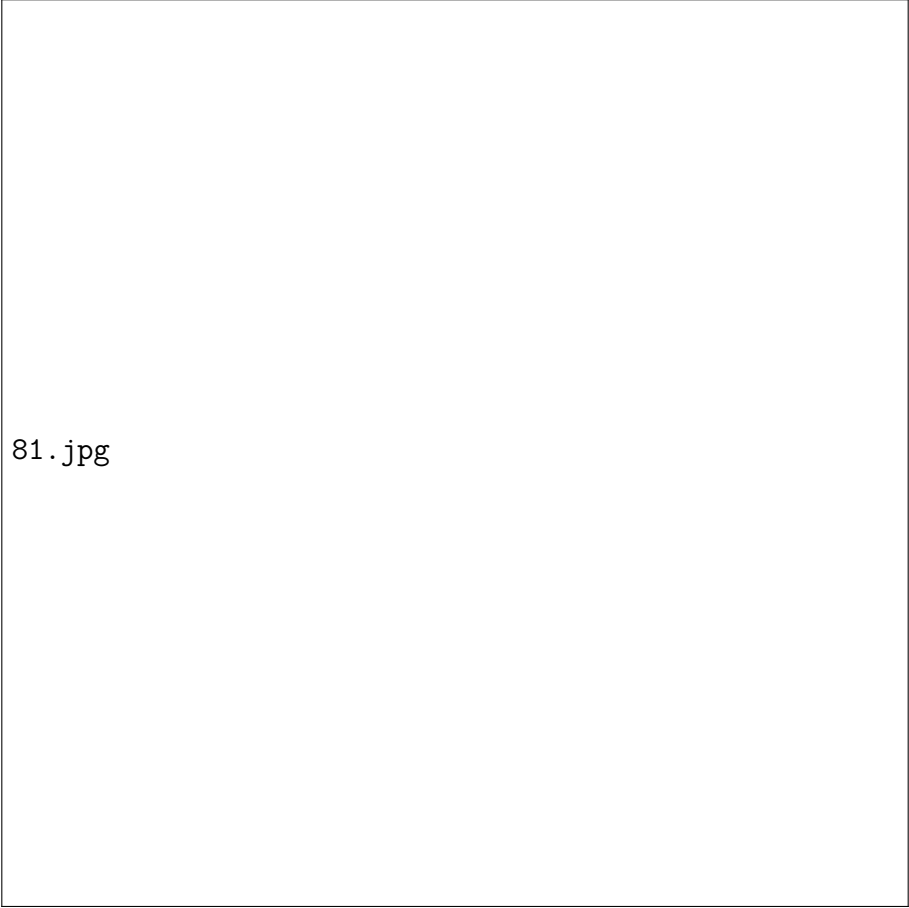


Mit Punkt 1 des Beweises wissen wir, dass diese Graphen Teil eines zulässigen Systems wären. Punkt 6 erlaubt es die einfache Kette in der Mitte so zu entfernen, dass die entstehenden Graphen gegen Punkt 4 verstoßen.

72.jpg

8. *Jeder Graph eines zulässigen Systems hat eine der folgenden Formen:*





81.jpg

9. Die einzigen zusammenhängenden Graphen des zweiten Typs in Punkt 8 sind der Coxeter Graph  $F_4$  oder der Coxeter Graph  $B_n (= C_n)$ .

Seien  $\epsilon = \sum_{j=1}^p j\epsilon_j$  und  $\eta = \sum_{j=1}^q j\eta_j$  mit  $\epsilon_i, \eta_j$  wie in Punkt 8. Nach Voraussetzung  $2(\epsilon_i, \epsilon_{i+1}) = -1 = 2(\eta_i, \eta_{i+1})$  und  $(\epsilon_i, \eta_j) = 0$ . Damit erhalten wir:

$$(\epsilon, \epsilon) = \sum_{j=1}^p j^2 - \sum_{j=1}^{p-1} j(j+1) = p(p+1)/2 \quad (4)$$

$$\text{und } (\eta, \eta) = q(q+1)/2$$

Aus  $4(\epsilon_p, \eta_q)^2 = 2$  können wir

$$(\epsilon, \eta)^2 = p^2 q^2 (\epsilon_p, \eta_q)^2 = p^2 q^2 / 2$$

folgern. Wir verwenden die Schwarzsche Ungleichung. Hier gilt sogar strikte Ungleichheit, weil  $\epsilon$  und  $\eta$  linear unabhängig sind.

$$\begin{aligned} & (\epsilon, \eta)^2 < (\eta, \eta)(\epsilon, \epsilon) \\ \Rightarrow & p^2 q^2 / 2 < p(p+1)q(q+1)/4 = (p^2 q^2 + pq^2 + p^2 q + pq)/4 & | : (pq) \\ \Rightarrow & 0 < -pq + q + p + 1 & | \cdot (-1) \quad | + 2 \\ \Rightarrow & 2 > pq - q - p + 1 = (p-1)(q-1) \end{aligned}$$

Die Möglichkeiten diese Ungleichung zu erfüllen sein:

- $p = 2 = q$  : Dies ist der Fall  $F_4$ .
- $p = 2, q$  beliebig (oder umgekehrt): Hier liegt  $B_l (= C_l)$  vor.

10. Die einzigen Graphen vom vierten Typ in Punkt 8 sind die Coxeter-Graphen  $E_6, E_7, E_8$  und  $D_n$ .

Seien  $\epsilon = \sum_{i=1}^{p-1} i\epsilon_i$ ,  $\eta = \sum_{j=1}^{q-1} j\eta_j$  und  $\zeta = \sum_{k=1}^{r-1} k\zeta_k$ , wobei wir wieder die Notation aus Punkt 8 verwenden.  $\epsilon, \eta$  und  $\zeta$  sind linear unabhängig und orthogonal zueinander.  $\psi$  liegt nicht in ihrem Erzeugnis.

Wie in Gleichung (3) erhalten wir

$$\cos^2 \theta_1 + \cos^2 \theta_2 + \cos^2 \theta_3 < 1$$

wobei  $\theta_i$  die Winkel zwischen  $\epsilon, \eta, \zeta$  und  $\psi$  sind.

Aus der analogen Rechnung wie in Punkt 9 folgt ( $p-1$  statt  $p$  in Gleichung (4))

$$(\epsilon, \epsilon) = p(p-1)/2 \quad (5)$$

$$\begin{aligned} \Rightarrow \cos^2 \theta_1 &= \frac{(\epsilon, \psi)^2}{(\epsilon, \epsilon) \underbrace{(\psi, \psi)}_{=1}} \\ &= \frac{(p-1)^2 (\epsilon_{p-1}, \psi)^2}{p(p-1)/2} = \frac{2(p-1)^2}{4p(p-1)} \\ &= \frac{1}{2} \left(1 - \frac{1}{p}\right) \end{aligned} \quad (6)$$

Diese Rechnungen (Gleichung (5) bis (6)) laufen für  $\eta$  und  $\zeta$  analog. Insgesamt erhalten wir so:

$$\frac{1}{2} \left(1 - \frac{1}{p} + 1 - \frac{1}{q} + 1 - \frac{1}{r}\right) < 1$$

$$\Leftrightarrow \frac{1}{p} + \frac{1}{q} + \frac{1}{r} > 1 \quad (7)$$

Nach eventueller Umbenennung haben wir:  $\frac{1}{p} \leq \frac{1}{q} \leq \frac{1}{r}$ . Sind nun  $p, q$  oder  $r = 1$  sind wir im Typ  $A_n$ . Ansonsten haben wir:

$$\frac{1}{p} \leq \frac{1}{q} \leq \frac{1}{r} \leq \frac{1}{2} \quad (8)$$

Wir haben also

$$\begin{aligned} 1 &\stackrel{(7)}{<} 3 \cdot \frac{1}{r} \stackrel{(8)}{\leq} 3 \cdot \frac{1}{2} \\ \Rightarrow r &= 2 \end{aligned} \quad (9)$$

Dies setzt auch Einschränkungen an  $q$  (über (7) und (9)):

$$\begin{aligned} \frac{1}{p} + \frac{1}{q} &> \frac{1}{2} \\ \Rightarrow \frac{2}{q} &> \frac{1}{2} \\ \Rightarrow 2 &\stackrel{(8)}{\leq} q \stackrel{(10)}{<} 4 \end{aligned} \quad (10)$$

Sei  $q = 3$ . Dann ist  $\frac{1}{p} > \frac{1}{6}$  und damit  $p < 6$ .

Sei  $q = 2$ . Dann ist  $p$  beliebig.

Die erlaubten Tripel  $(p, q, r)$  sind also:

$$(p, 2, 2) = D_n$$

$$(3, 3, 2) = E_6$$

$$(4, 3, 2) = E_7$$

$$(5, 3, 2) = E_8$$

Außer in den Fällen  $B_n, C_n$  legen die Coxeter-Graphen bereits eindeutig die Dynkin-Diagramme fest. Damit ist das Theorem gezeigt.  $\square$

81 min